

بررسی رفتار جذب امواج رادار کامپوزیت‌های زمینه پلیمری حاوی ذرات باریم هگزافریت آلاییده شده

سید سلمان سید افکه‌ی^۱، مجتبی جعفریان^{۲*}، محسن صالحی^۲

^۱ دانشگاه جامع امام حسین (ع)، دانشکده فنی مهندسی، گروه مهندسی مواد، تهران، ایران.

^۲ دانشگاه آزاد اسلامی، واحد علوم و تحقیقات، باشگاه پژوهشگران جوان و نخبگان، تهران، ایران.

تاریخ ثبت اولیه: ۱۳۹۴/۹/۱۹، تاریخ دریافت نسخه اصلاح شده: ۱۳۹۵/۸/۱، تاریخ پذیرش قطعی: ۱۳۹۵/۹/۱

چکیده در این مقاله با هدف بررسی رفتار جذب امواج رادار توسط پودر مغناطیسی هگزافریت باریم آلاییده شده، کامپوزیت‌هایی حاوی این پودر با درصد وزنی مختلف (۳۰، ۴۰ و ۵۰ درصد وزنی) در زمینه رزین اپوکسی تهیه شد. آنالیزهای پراش اشعه ایکس (XRD)، مغناطیسی‌سنج نمونه مرتعش (VSM) و تجزیه و تحلیل شبکه بردار (VNA) به ترتیب به منظور بررسی فازی، مغناطیسی و جذب امواج مایکروویو انجام شد. طبق نتایج ترکیب هگزافریت باریم به همراه مقدار ناچیزی فاز غیرمغناطیسی همایتی تشکیل گردید. نتایج VSM حاکی از کاهش مقادیر مغناطیش اشباع (Ms) و نیروی وادارندگی (Hc) در تمامی نمونه‌ها بود و کمترین میزان مغناطیش اشباع (18.14 emu/g) و نیروی وادارندگی (118 Oe) در نمونه حاوی یون قلع مشاهده شد. طبق نتایج VNA بیشترین میزان جذب در حالت استفاده از ۵۰ درصد وزنی پودر در زمینه رزینی و در صورت استفاده از نمونه با ترکیب BaZn_{0.6}Zr_{0.3}Sn_{0.3}Fe_{10.8}O₁₉ در فرکانس 11.1 GHz به میزان ۱۶/۳ - حاصل گردید.

کلمات کلیدی: هگزافریت باریم، خواص مغناطیسی، جذب امواج رادار.

Investigation the Radar Absorption Behavior of Polymer Matrix Composites with Doped Barium Hexaferrite Particles

Seyyed Salman Seyyed Afghahi¹, Mojtaba Jafarian^{*2}, Mohsen Salehi²

¹Department of Materials sciencend Engineering, Imam Hossein University, Tehran, Iran.

²Young Researchers and Elites club, Science and Research Branch, Islamic Azad University, Tehran, Iran.

Abstract In this paper with the aim of investigating the radar absorption behavior of doped barium hexaferrite, composites contain this powder with different weight percent in resin epoxy matrix were prepared. X-ray diffraction analysis (XRD), Vibration sample magnetometer (VSM) and Vector network analysis (VNA) were performed in order to evaluate phase, magnetic properties and microwave absorption properties. According to the results, barium hexaferrite with negligibility amount of non-magnetic hematite phase were was formed. VSM results, representing the reduction of saturation magnetization (Ms) and coercive force (Hc) values in all samples, and the lowest value of saturation magnetization (18.14 emu/g) and coercive force (118 Oe) corresponded to the sample that contain tin ion. According to the VNA results, the maximum absorption is achieved when 50 wt.% of powder is used in resin matrix which was related to the sample with the composition of BaZn_{0.6}Zr_{0.3}Sn_{0.3}Fe_{10.8}O₁₉ at the frequency of 11.1 GHz with -16.3 dB.

Keywords: Barium hexaferrite, Magnetic properties, Radar waves absorption.

* عهده دار مکاتبات

نشانی: دانشگاه آزاد اسلامی، واحد علوم و تحقیقات، باشگاه پژوهشگران جوان و نخبگان، تهران، ایران. تلفن: ۰۹۱۲۴۷۳۹۹۵۰، پیام نگار:

Jafarian_67@yahoo.com

۱- مقدمه

دهنده انواع کاتیون‌های دو ظرفیتی در ترکیب است [۱۳، ۱۴].

در میان تمامی فریت‌های هگزاگونال، باریم هگزافریت نوع M با ساختار مگتوپلیمیت و گروه فضایی P63/mmc نسبت به سایر ترکیبات این خانواده از خواص مناسب‌تری برخوردار می‌باشد.

این ترکیب دارای نیروی وادارندگی (Oe₆₇₀₀)، مغناطش بالا (emu/g₇₂) و دمای کوری بالا (T_c= 50°C) می‌باشد. خواص مغناطیسی مواد فریتی به طور گستردۀ توسط جانشینی با کاتیون‌های مختلف تنظیم می‌شود.

اصلاح هگزافریت باریم با جانشینی کاتیون‌های مختلف و یون‌های آهن تغییرات عمدۀ ای در مشخصه‌های فیزیکی و شیمیایی این ترکیب از جمله آنیزوتروپی مغناطوکریستالی، نیروی پسماندزاده و دمای کوری ایجاد می‌کند [۱۴-۱۶]. خواص مغناطیسی هگزافریت باریم جانشین شده به شدت تابع شرایط سنتز و نحوه قرارگیری دوپن‌ها در مکان‌های کریستالوگرافی پنج‌گانه یون‌های Fe⁺³ در ترکیب هگزافریت باریم می‌باشد. روش‌های متعددی به منظور سنتز و جانشینی کاتیون‌های مختلف در ساختار هگزافریت باریم همچون هم‌رسوبی [۱۷]، سل-ژل [۱۸]، میکرومولسیون [۱۹]، آلیاژسازی مکانیکی [۲۰] و غیره به کار گرفته شده است. در میان این روش‌ها روش آلیاژسازی مکانیکی به عنوان یکی از ساده‌ترین و مقرون به صرفه‌ترین روش‌ها محسوب می‌شود، چرا که اصولاً مواد اولیه مورد نیاز در این روش در دسترس و ارزان می‌باشند. پژوهش‌های گستردۀ ای در زمینه اصلاح خواص مغناطیسی هگزافریت باریم با جانشینی کاتیون‌هایی همچون Co-Ce [۲۱]، Al-Mn-Cd-Zr [۲۲]، Ce-Ti [۲۳] و Zr [۲۵] انجام شده است.

پس از جایگزینی یون‌های Ba و Fe با یون‌های مورد نظر مغناطش اشباع، نیروی وادارندگی، فرکانس رزونانس فرو‌مغناطیسی ترکیب هگزافریت باریم تغییر نموده است. ارتباط بین کاهش فرکانس رزونانس فرو‌مغناطیسی هگزافریت باریم با آلایش با عناصر مختلف نیاز به تحقیقات گستردۀ دارد. پژوهش حاضر با هدف مقایسه رفتار جذب امواج ماکروویو در ترکیب کامپوزیتی هگزافریت باریم-رزین اپوکسی آلاییده شده با کاتیون‌های روی و زیرکونیوم به همراه کاتیون‌های تیتانیوم، سریوم و قلع برای اولین بار و منحصر به فرد به شمار می‌آید.

پیشرفت‌های اخیر در زمینه دستگاه‌های ارتباط الکترونیکی بی‌سیم همچون تلویزیون، سیستم‌های رادیویی، تلفن‌های همراه، دستگاه‌های رادار، شبکه‌های دسترسی محلی و ...، کارکرد در محدوده فرکانسی مکاہرترز تا گیگاہرترز را دچار مشکلات فراوانی از جمله تداخل امواج الکترومغناطیس نموده است [۱-۴]. بنابراین محافظت در برابر امواج الکترومغناطیس امری اجتناب‌ناپذیر نه تنها به واسطه تداخل امواج و مختل نمودن عملکرد سیستم‌های الکترونیکی و مخابراتی بلکه به واسطه ماهیت مضر این امواج برای سلامت انسان می‌باشد [۵]. بنابراین جاذب‌های امواج الکترومغناطیس به منظور کاهش آلودگی تشعشعات ناشی از افزایش دستگاه‌ها و منشاء‌های امواج الکترومغناطیس مورد نیاز می‌باشد [۶]. تاکنون طیف وسیعی از جاذب‌های امواج الکترومغناطیس شناخته شده که قادر به جذب امواج در فرکانس‌های بالا و پایین می‌باشند [۷-۱۰]. فریت‌های اسپینلی طبق حد اسنونک در محدوده گیگاہرترز دچار افت خاصیت نفوذپذیری مغناطیسی می‌شوند و به همین دلیل در محدوده گیگاہرترز به عنوان جاذبی مناسب نمی‌توانند عمل کنند [۱۱].

به علاوه این ترکیبات دارای فرکانس رزونانسی پایینی در حد کمتر از MHz ۱۰۰ بوده و کاربرد آنها را در محدوده فرکانسی GHz ۸-۱۲ محدود می‌کند. از طرفی فریت‌های هگزاگونال با دارا بودن آنیزوتروپی مغناطوکریستالی تکمحوری بالا، نفوذپذیری مغناطیسی پایین و فرکانس رزونانسی بالای خود نمی‌توانند به عنوان جاذب امواج مایکروویو مناسب باشند [۱۲].

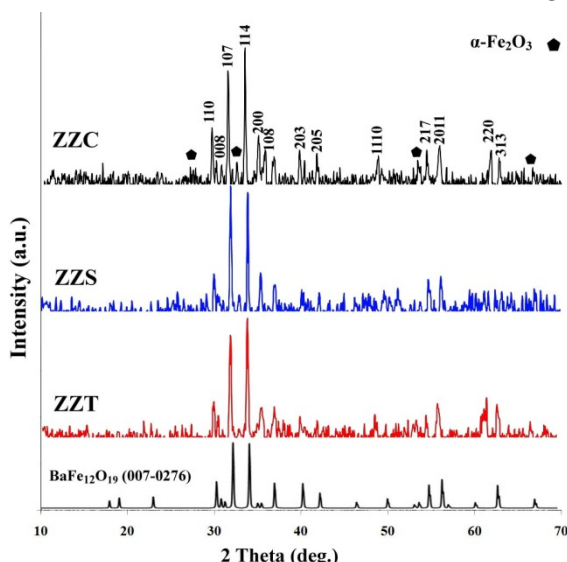
با این حال، فریت‌های هگزاگونال با آنیزوتروپی صفحه‌ای به واسطه دارا بودن نفوذپذیری مغناطیسی بالا و فرکانس‌های رزونانسی در نزدیکی باند X، کاندیدهای مناسبی برای کاربرد به عنوان موادی با انعکاس‌پذیری پایین در فرکانس مایکروویو می‌باشند.

هگزافریت‌ها با توجه به ترکیب شیمیایی و ساختار کریستالی‌شان به پنج دسته طبقه‌بندی می‌شوند. این ترکیبات شامل هگزافریت باریم نوع M، W، Y، X و Z به ترتیب با فرمول کلی BaMe₂Fe₁₂O₂₂، BaMe₂Fe₁₆O₂₇، BaFe₁₂O₁₉ و Ba₂Me₂Fe₂₄O₄₁ و Ba₂Me₂Fe₂₈O₄₆ می‌باشند که Me نشان

۳- نتایج و بحث

۱-۳ بررسی فازی (XRD)

از تمام نمونه‌های تولید شده به منظور بررسی فازی و ساختار بلوری آنالیز پراش اشعه ایکس به عمل آمد و با اطلاعات بدست آمده، از پراش نمایه‌سازی انجام شد. برای این $\sin 2\theta$ منظور موقعیت پیک‌ها مشخص و مقادیر متناظر با بررسی شد. شکل (۱) نشان دهنده الگوهای پراش اشعه ایکس مربوط به نمونه‌های دوب شده با کاتیون‌های مورد نظر می‌باشد.



شکل ۱. الگوهای XRD نمونه‌های هگزافریت باریم دوب شده.

با توجه به الگوها تشکیل ترکیب تقریباً تکفاز هگزافریت باریم نوع M باگروه فضایی P63/mmc در تمامی حالت‌ها تایید شد. پیک‌ها با الگوی استاندارد با شماره کارت (۰۰۷-۰۲۷۶) مطابقت داده و همان‌طور که ملاحظه می‌شود حضور مقداری فاز غیرمغناطیسی هماتیت در الگوهای پراش علاوه بر فاز مغناطیسی هگزافریت باریم مشاهده می‌شود.

۲-۳ بررسی مغناطیسی

شکل (۲) نشان دهنده حلقه‌های M-H نمونه‌های ZYT و ZZS می‌باشد که در دمای اتاق تهیه شده‌اند. میدان پسماندزدا و مغناطش باقی‌مانده به طور مستقیم از حلقه‌های هیسترزیس (M-H) بدست آمد. پارامترهای مغناطیسی کاربردی همچون مغناطش اشباع، نیروی وادارندگی و مغناطش باقیمانده نمونه‌ها نیز در جدول (۲) آورده شده است.

همان‌طور که ملاحظه می‌شود هر سه مشخصه

۲- روش تحقیق

در این پژوهش به منظور ستز پودر هگزافریت باریم $BaZn_{0.6}Zr_{0.3}X_{0.3}Fe_{10.8}O_{19}$ دوب شده با ترکیب $(X=Ti,Ce,Sn)$ از مواد اولیه شامل کربنات باریم (۱۰۱۷۱۴)، اکسید آهن (۱۰۳۸۱۹)، اکسید زیرکونیوم (۱۰۸۸۴۶)، دی‌اکسید تیتانیوم (۱۰۰۸۰۵)، دی‌اکسید سریوم (۱۷۰۳۹۰) و دی‌اکسید قلع (۱۰۷۸۱۸) تهیه شده از شرکت مرک با خلوص ۹۹٪ درصد به روش فعال‌سازی مکانیکی استفاده شد.

مواد اولیه با توجه به نسبت استوکیومتری و نسبت وزنی گلوله به پودر (۳۰:۱) در قندانی‌های آسیاب سیارهای (Retsch PM100) قرار گرفته و به مدت ۲۰ ساعت در اتمسفر هوا آسیاکاری و سپس به مدت ۵ ساعت در دمای 1000°C و با نرخ $5^{\circ}\text{C}/\text{min}$ حرارت داده شدند. در تمام شرایط به میزان ۱ آtanول به عنوان عامل کنترل کننده فرآیند به مخلوط پودری اضافه شد. بررسی فازی پودرهای ستز شده با استفاده از دستگاه پراش اشعه ایکس (XRD, XMD۳۰۰) در محدوده $10-70^{\circ}\text{C}$ با استفاده از تابش $\text{CuK}\alpha$ با طول موج $1/54$ آنگستروم صورت گرفت.

پارامترهای مغناطیسی نمونه‌های پودری تهیه شده، در دمای K ۲۹۸ با استفاده از دستگاه مغناطیسی‌سنج نمونه مرتعش (VSM) اندازه‌گیری گردید. به منظور بررسی میزان جذب امواج مایکروویو در محدوده باند X (۸-۱۲/۴ GHz)، پس از آماده‌سازی نمونه‌ها در ابعاد $25 \times 10 \times 5$ mm به‌گونه‌ای که به میزان ۳۰، ۴۰ و ۵۰٪ پودر در زمینه رزین اپوکسی به طور کامل ۸۵۱۰C Vector Network Analyzer (VNA) استفاده گردید.

جدول (۱) نشان دهنده کدهای مربوط به نمونه‌های آلایش شده می‌باشد.

جدول ۱. کدهای مربوط به نمونه‌های آلایش شده.

کد نمونه	ترکیب
ZYT	$BaZn_{0.6}Zr_{0.3}Ti_{0.3}Fe_{10.8}O_{19}$
ZZC	$BaZn_{0.6}Zr_{0.3}Ce_{0.3}Fe_{10.8}O_{19}$
ZZS	$BaZn_{0.6}Zr_{0.3}Sn_{0.3}Fe_{10.8}O_{19}$

مربوط می‌باشد بلکه نحوه چینش و قرارگیری یون‌های مختلف در مکان‌های کریستالوگرافی یون‌های آهن نیز، نقش بهسزایی در میزان مغناطش نهایی نمونه‌ها ایفا می‌کند. به طور کلی در ساختار هگزافریت باریم، یون‌های آهن با اسپین بالا در مکان‌های اکتاهدراال (۱۲k) و (۲a) و بای پیرامید (۲b) و یون‌های آهن با اسپین پایین در مکان‌های تتراهدراال (۴f₁) و اکتاهدراال (۴f₂) توزیع شده‌اند [۲۰-۲۵]. طبق تئوری میدان لیگاند یون‌هایی با ۱d، ۲d و ۴d به طور ترجیحی در مکان‌های تتراهدراال، در حالی که یون‌هایی با ۵d و ۸d در مکان‌های اکتاهدراال قرار می‌گیرند. یون‌هایی با ۶d و ۱۰d مکان ترجیحی برای قرارگیری ندارند و می‌توانند در هر دو مکان تتراهدراال و اکتاهدراال قرار گیرند [۲۴].

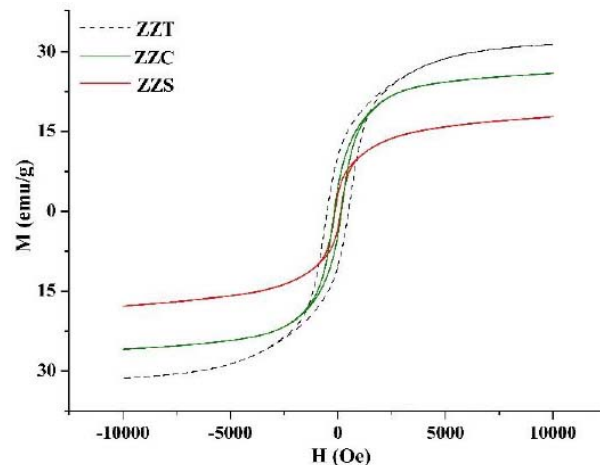
در نتیجه طبق این تئوری و بررسی‌های مزوبار انجام شده در سایر پژوهش‌ها در رابطه با نحوه اشغال مکان‌های مختلف توسط یون‌های مورد نظر می‌توان این چنین بیان نمود که یون‌های Zn²⁺ مکان‌های ۴f₁ [۱۱]، Zr⁴⁺ مکان‌های ۴f₂ [۲]، یون‌های Ti⁴⁺ در صورتی که با یون‌های Zn²⁺ وارد ساختار شوند مکان‌های ۴f₁ و ۴f₂ [۶]، یون‌های Sn⁴⁺ مکان‌های ۲b [۴] و یون‌های Ce⁴⁺ مکان‌های ۴f₁ [۲۱، ۱۱] را اشغال می‌نمایند. طبق نتایج نیز بیشترین میزان کاهش مغناطش اشباع در نمونه حاوی یون‌های قلع رخ داده است که می‌تواند ناشی از ورود این یون‌ها به مکان‌های ۲b باشد که نه تنها کاهش بیشتر در نیروی وادارندگی بلکه کاهش مغناطش اشباع را نیز به همراه داشته است. به طور کلی حضور فاز غیرمغناطیسی همایت نیز از دیگر دلایل کاهش کلی مغناطش اشباع می‌باشد که در الگوهای پراش مشاهده شد.

۳-۳ بررسی میزان جذب امواج مایکروویو

برای کاهش بازتاب از جاذب‌ها باید امپدانس ذاتی جاذب با امپدانس موج در فضای آزاد برابر باشد که در نتیجه آن حالت تشدیدی صورت گرفته و بیشترین مقدار جذب در ماده نتیجه خواهد شد.

در این حالت انرژی موج الکترومغناطیسی جذب شده توسط ماده از طریق اتلاف‌های مغناطیسی و دی‌الکتریکی به گرما تبدیل می‌شود. زمانی که با یون‌های مختلف آلایش ساختار فریت‌های هگزاگونال صورت گیرد، با وارد شدن یون

مغناطیسی (Ms و Hc) در هر سه نمونه نسبت به حالت خالص هگزافریت باریم emu/g (Ms=۷۲-۹۴ emu/g) و (Hc=۱/۹۸-۳/۲ kOe) [۱۱-۱۵] کاهش شدیدی داشته است. کاهش نیروی وادارندگی با دوب نمودن یون‌های مختلف در ترکیب حاکی از کاهش ناهمسانگردی مغناطیسی-بلوری در راستای محور C نمونه‌ها می‌باشد.



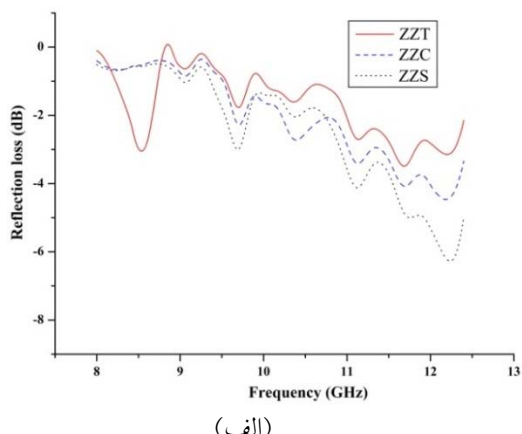
شکل ۲. منحنی‌های M-H نمونه‌های ZZS، ZZC و ZZT

جدول ۲. مقادیر پارامترهای مغناطیسی نمونه‌های ZZS، ZZC و ZZT

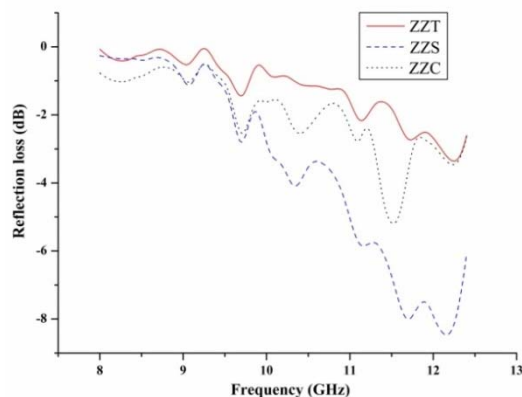
نمونه	مغناطش اشباع (emu/g)	مغناطش باقیمانده (emu/g)	نیروی وادارندگی (Oe)
ZZT	۳۳/۱	۱۰/۱	۴۸۵
ZZC	۲۷/۲۴	۴/۳۱	۱۷۴
ZZS	۱۸/۱۴	۲/۹	۱۱۸

منشا ناهمسانگردی مغناطیسی-بلوری بالای هگزافریت باریم نوع M حضور یون‌های آهن در مکان‌های ۲b و ۴f₂ با عدم تقارن بالا است. طبق نتایج بیشترین میزان کاهش نیروی وادارندگی در نمونه ZZS رخ داده که ممکن است به دلیل جانشینی یون‌های دوب شده مخصوصاً یون قلع در مکان‌های فوق باشد [۴]. از طرفی مغناطش اشباع شدیداً وابسته به برهmekness‌های فوق تبادلی از نوع Fe³⁺-O-Fe²⁺ می‌باشد که خود نسبت به فواصل بین اتمی بسیار حساس می‌باشد. اصولاً دوب نمودن یون‌های مختلف با شعاع‌های یونی بیشتر از یون‌های آهن منجر به کاهش برهmekness‌های فوق تبادلی شده و در نتیجه آهن در مغناطش اشباع رخ می‌دهد. همان‌طور که ملاحظه می‌شود در تمامی حالات کاهش مغناطش اشباع رخ داده است. مغناطش اشباع نمونه‌های دوب شده نه تنها به تغییر فاصله لایه‌ها و در نتیجه تضعیف برهmekness‌های فوق تبادلی

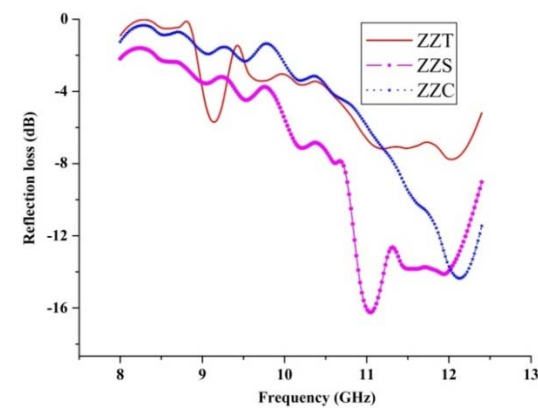
وزنی مشاهده می‌شود که در تمامی نمونه‌ها در محدوده باند X با افزایش فرکانس میزان جذب امواج افزایش می‌یابد. مقادیر پارامترهای جذب توسط نمونه‌ها در جدول (۳) آورده شده است. همان‌طور که ملاحظه می‌شود بیشترین میزان جذب مربوط به نمونه ZZS می‌باشد. جذب بالای این نمونه می‌تواند ناشی از کمتر بودن نیروی وادارندگی H_c نسبت به دو نمونه دیگر و افزایش نفوذپذیری مغناطیسی ترکیب مورد نظر باشد. مکانیزم غالب جذب امواج الکترومغناطیس در نمونه‌های فریتی دوپ شده حرکت دیواره حوزه‌های مغناطیسی می‌باشد.



(الف)



(ب)



(ج)

شکل ۳. منحنی‌های تغییرات جذب نسبت به بسامد در نمونه‌های ZZT و ZZS

در ساختار ماده، روی برهمکنش اسپین-مدار و ناهمسانگردی بلوری ماده تأثیر می‌گذارد و خواص مغناطیسی به‌ویژه H_C را تغییر می‌دهد. فرکانس رزونانس فرومغناطیسی هگزافریت باریم نوع M به‌واسطه آنیزوتropی مغناطیسی کریستالین بالا در محدوده $50-60$ GHz می‌باشد [۷-۱۰]. به علاوه فرکانس رزونانسی می‌تواند با جانشینی یون‌های فلزی با Fe^{+3} به سمت فرکانس‌های کمتر نیز انتقال پیدا کند. براساس تئوری رزونانس فرمغناطیس، فرکانس رزونانسی نسبت مستقیم با میدان ناهمسانگردی ترکیب هگزافریت باریم دارد. هرچند خواص مغناطیسی نمونه‌ها میین تا حدودی نرم بودن تمام نمونه‌های آلایش شده می‌باشد ولی تنها براساس آن نمی‌توان بر روی خواص جذب فریت‌ها قضاوت کرد، به‌ویژه این‌که هر کدام از جاذب‌های امواج الکترومغناطیس در یک محدوده خاص می‌توانند جذب خوبی از خود نشان دهند.

بنابراین می‌بایست میزان جذب امواج الکترومغناطیس در فرکانس‌های مختلف توسط هر یک از کامپوزیت‌های مورد مطالعه، اندازه‌گیری شود. میزان تلفات انعکاسی یک ماده جاذب امواج الکترومغناطیس تحت برخورد عمودی، به صورت تک لایه و با پشتی فلزی با توجه به مقدار امپدانس ورودی آن طبق نظریه خطوط انتقال با فرمول زیر مشخص می‌شود [۱۰]:

$$R(\text{dB}) = 20 \log \left| \frac{Z_{\text{in}} - 1}{Z_{\text{in}} + 1} \right| \quad (\text{معادله ۱})$$

شکل (۳) نشان دهنده نمودارهای میزان تلفات انعکاسی با فرکانس در محدوده $8-12/4$ GHz برای نمونه‌های ZZT و ZZS در درصدهای وزنی مختلف 30 ، 40 و 50 درصد وزنی می‌باشد. در اینجا پهنهای باند به صورت محدوده فرکانسی که در آن میزان تلفات انعکاس بیش از -10 dB باشد تعريف می‌شود. همان‌طور که ملاحظه می‌شود با افزایش میزان درصد وزنی پودر جاذب در زمینه رزین اپوکسی به‌واسطه کاهش میزان نقاط نشت (leakage) که منجر به عبور موج وارد و برخورد به صفحه فلزی پشتی و برگشت آن می‌شود و از طرفی افزایش مسیر جذب (Absorptionpath) در نمونه جاذب منجر به افزایش میزان جذب امواج رادار با افزایش میزان درصد پودر در زمینه می‌گردد.

با توجه به منحنی‌های جذب در حالت استفاده از 50%

6. An, S.Y., Shim, I.B., Kim, C.S., Mössbauer and magnetic properties of Co-Ti substituted barium hexaferrite nanoparticles, *Journal of Applied Physics*, 2002, 91, 8465-8467.
7. Wang, J.F., Ponton, C.B., Harris, I.R.: A study of the magnetic properties of hydrothermally synthesised Sr hexaferrite with Sm substitution, *Journal of Magnetism and Magnetic Materials*, 2001, 234, 233-240.
8. Awawdeh, M., Bsoul, I., Mahmood, S., Magnetic properties and Mössbauer spectroscopy on Ga, Al, and Cr substituted hexaferrites, *Journal of Alloys and Compounds*, 2014, 585, 465-473.
9. Iqbal, M.J., Ashiq, M.N., Comparative studies of $\text{Sr}_{\text{x}}\text{Mn}_{\text{x}}\text{Fe}_{12-2\text{x}}\text{O}_{19}$ nanoparticles synthesized by co-precipitation and sol-gel combustion methods, *Scripta Materialia*, 2007, 2, 145-148.
10. Wang, C.S., Wei, F.L., Lu, M., Han, D.H., Yang, Z., Structure and magnetic properties of Zn-Ti-substituted Ba-ferrite particles for magnetic recording, *Journal of Magnetism and Magnetic Materials*, 1998, 183, 241-250.
11. Yang, Z., Wang, C.S., Li, X.H., Zeng, H.X., (Zn, Ni, Ti) substituted barium ferrite particles with improved temperature coefficient of coercivity, *Materials Science and Engineering*, 2002, 90, 142-145.
12. Dho, J., Lee, E.K., Park, J.Y., Hur, N.H., Effects of the grain boundary on the coercivity of barium ferrite $\text{BaFe}_{12}\text{O}_{19}$, *Journal of Magnetism and Magnetic Materials*, 2005, 285, 164-168.
13. Gorter, E.W., Ionic distribution deduced from the g-factor of a ferrimagnetic spinel: Ti^{4+} in fourfold co-ordination, *Nature*, 1954, 173, 123-124.
14. Sozeri, H., Küçük, I., Özkan, H., Improvement in magnetic properties of La substituted $\text{BaFe}_{12}\text{O}_{19}$ particles prepared with an unusually low Fe/Ba molar ratio, *Journal of Magnetism and Magnetic Materials*, 2011, 323, 1799-1804.
15. Haq, A., Anis-ur-Rehman, M., Effect of Pb on structural and magnetic properties of Ba-hexaferrite, *Physica B: Condensed Matter*, 2012, 407, 822-826.
16. Summergrad, R.N., Banks, E., New hexagonal ferrimagnetic oxides, *Journal of Physics and Chemistry of Solids*, 1957, 2, 312-316.
17. Turilli, G., Licci, F., Rinaldi, S., Mn^{2+} , Ti^{4+} substituted barium ferrite *Journal of Magnetism and Magnetic Materials*, 2005, 59, 127-135.
18. Ghasemi, A., Hossienpour, A., Morisako, A., Liu, X., Ashrafizadeh, A., Investigation of the microwave absorptive behavior of doped barium ferrites, *Materials & Design*, 2008, 29, 112-117.
19. Tehrani, M.K., Ghasemi, A., Moradi, M., Alam, R.S., Wideband electromagnetic wave absorber using doped barium hexaferrite in Ku-band, *Journal of Alloys and Compounds*, 2011, 509, 83-91.
20. Wartewig, P., Krause, M.K., Esquinazi, P., Rosler, S., Sonntag, S., Magnetic properties of Zn- and Ti-substituted barium hexaferrite, *Journal of Magnetism and Magnetic Materials*, 1992, 192, 83-90.
21. Kanagesan, S., Jesurani, S., Velmurugan, R., Prabu, S., Kalaivani, T., Structural and magnetic properties of conventional and microwave treated Ni-Zr doped barium strontium hexaferrite, *Materials Research Bulletin*, 2012, 47, 188-193.
22. Sozeri, H., Baykal, A., Unal, B., Low-temperature synthesis of single-domain Sr-hexaferrite particles by solid-state reaction route, *Physica Status Solidi (A) Applications and Materials*, 2012, 209, 2002-2013.
23. Sözeri, H., Deligöz, H., Kavasc, H., Baykal, A., Magnetic, dielectric and microwave properties of M-Ti substituted barium hexaferrites (M= Mn^{2+} , Co^{2+} , Cu^{2+} , Ni^{2+} , Zn^{2+}), *Ceramics International*, 2014, 37, 234-246.

جدول ۳. پارامترهای جذب نمونه‌های ZZS, ZZC و ZYT

نمونه	فرکانس (GHz)	بیشترین اتلاف (dB)	پهنای باند جذب (GHz)
ZYT	۱۲	-۷/۹	-
ZZC	۱۲/۲	-۱۴/۲	۰/۹
ZZS	۱۱/۱	-۱۶/۳	۱/۶

۴- نتیجه‌گیری

روش فعال‌سازی مکانیکی به منظور آلایش پودر مغناطیسی هگزافریت باریم در این تحقیق مورد استفاده قرار گرفت. عدم اسیدشونی پودر حاصل منجر به حضور فاز غیرمغناطیسی هماتیت در ترکیب پودر نهایی شد. آلایش سه‌تایی ترکیب هگزافریت باریم با کاتیون‌های مختلف منجر به کاهش آنیزوتropی مغناطیسی و امکان کاربرد این ترکیب به عنوان پودر جاذب امواج رادار در محدوده فرکانسی باند X شد. حضور فاز غیرمغناطیسی هماتیت نه تنها تاثیر منفی در کاهش هر چه بیشتر پارامترهای مغناطیسی این ترکیب داشت بلکه منجر به کاهش جذب امواج رادار توسط این ترکیب در سه حالت مختلف گردید. بررسی اتلاف انعکاس در محدوده باند X برای نمونه حاوی یون چهار طرفیتی قلع نسبت به نمونه‌های دیگر شاهد افزایش قابل ملاحظه‌ای بود که این امر به کمتر بودن نیروی وادارندگی این نمونه نسبت به دو نمونه دیگر و افزایش نفوذپذیری مغناطیسی آن مربوط بود.

مراجع

1. Pawar, R.A., Desai, S.S., Tamboli, Q.Y., Shirasath, E., Patange, S.M., Ce^{3+} incorporated structural and magnetic properties of M type barium hexaferrites, *Journal of Magnetism and Magnetic Materials*, 2015, 378, 59-63
2. Chawla, S.K., Mudsainiyen, R.K., Meena, S.S., Yusuf, S.M., Sol-gel synthesis, structural and magnetic properties of nanoscale M-type barium hexaferrites $\text{BaCo}_x\text{Zr}_{x}\text{Fe}_{(12-2x)}\text{O}_{19}$, *Journal of Magnetism and Magnetic Materials*, 2014, 350, 23-29.
3. Pashkova, E.V., Solovyova, E.D., Kolodiazhnii, T.V., Ivanitskii, V.P., Belous, A.G., Effect of heat treatment on the phase composition, structure and magnetic properties of M-type barium hexaferrite, *Journal of Magnetism and Magnetic Materials*, 2014, 368, 1-7.
4. Rasly, M.M., Rashad, M., Structural and magnetic properties of Sn-Zn doped BaCo_2Z -type hexaferrite powders prepared by citrate precursor method, *Journal of Magnetism and Magnetic Materials*, 2013, 337-338, 58-64.
5. Wang, C.S., Qi, X.Q., Li, L.T., Zhou, J., Wang, X.H., Yue, Z.X., Effect of copper on the electromagnetic properties of Mg-Zn-Cu ferrites prepared by sol-gel auto-combustion method, *Materials Science and Engineering*, 2003, 86, 64-69.

24. Lisjak, D., Drofenik, M., Synthesis and characterization of A-Sn-substituted ($A\frac{1}{4}Zn$, Ni, Co) BaM-hexaferrite powders and ceramics, *Journal of the European Ceramic Society*, 2004, 24, 1841–1845.
25. Akman, O., Kavas, K., Baykal, A., Durmuş, Z., Aktaş, B., Sözeri, H., Microwave absorption properties of $BaFe_{12}O_{19}$ - TiO_2 composite coated with conducting polymer, *Journal of Superconductivity and Novel Magnetism*, 2013, 26, 1369–1373.